

## تحلیل ریسک خشکسالی کشاورزی با استفاده از تکنیک های سنجش از دور و GIS (منطقه مورد مطالعه: استان سمنان)

مصطفی عابدزاده<sup>۱\*</sup>، بهروز ارسقو<sup>۲</sup>، حمیدرضا نانکلی<sup>۳</sup>

تاریخ پذیرش مقاله: ۹۷/۲/۱۷

تاریخ دریافت مقاله: ۱۳۹۷/۱/۱۵

صفحات: ۱۸-۳۶

### چکیده

خشکسالی کشاورزی یکی از پیچیده ترین حوادث طبیعی محسوب می شود. به دلیل تغییرات مکانی و زمانی این پدیده لازم است اطلاعات و ابزارهای موجود جهت پایش این پدیده در همه ی مقیاس ها بپردازد. داده های سنجش از دور و GIS<sup>۱</sup>، یک ابزار پایش مناسب را برای ارزیابی وسعت و شدت خشکسالی در دسترس قرار می دهد. میزان رشد گیاه، یکی از مهم ترین شاخص مشخص کننده رخداد خشکسالی است. در این مطالعه ابتدا به ارزیابی تعدادی از شاخص های گیاهی پرداخته شده و در نتیجه آن، شاخص<sup>۲</sup> NDVI به عنوان مناسب ترین شاخص برای پوشش گیاهی انتخاب گردیده است. در این مطالعه، از تصاویر<sup>۳</sup> MODIS به دلیل توان تفکیک زمانی و مکانی مناسبی که برای تحلیل ریسک خشکسالی کشاورزی استان سمنان دارند، استفاده شده است. دوره زمانی مورد بررسی ماه های مارس تا ژوئیه سال های ۲۰۰۰ تا ۲۰۱۷ است. ابتدا تصاویر تصحیح هندسی و رادیومتریک شده اند. سپس با ارزیابی سری هفتاد ساله ی تصاویر<sup>۴</sup> SPI،<sup>۵</sup> LST<sup>۶</sup>، NDVI<sup>۷</sup> و مجموع بارش سالیانه در سطح منطقه، روند تغییرات خشکسالی نشان داده شده است. در این مطالعه به وسیله شاخص های ماهواره ای ذکر شده دراستان سمنان اقلیم ها میزان ناحیه تحت تاثیر خشکسالی بررسی شده است. شاخص های ماهواره ای، استان سمنان را در سال های ۲۰۰۰، ۲۰۱۳، ۲۰۱۰، ۲۰۱۶ تحت تاثیر خشکسالی نشان می دهند. براساس این شاخص ها در سال های ۲۰۰۰، ۲۰۰۷، ۲۰۰۶، ۲۰۰۱، ۲۰۱۶، ۲۰۰۵ خشکسالی در استان وجود داشته است. شدت خشکسالی در سال ۲۰۰۰، ۲۰۱۶ بیشتر از سایر سال ها ملاحظه شد. همچنین سال ۲۰۰۵ ترسالی و سایر سال ها، سال های متوسطی هستند. نتایج نشان داد مشخص کردن مناطق حساس به خشکسالی نقش بسیار مهمی در اعمال مدیریت های لازم برای کاهش ریسک خشکسالی می تواند داشته باشد.

**واژگان کلیدی:** تحلیل ریسک خشکسالی کشاورزی، استان سمنان، سنجش از دور، سیستم اطلاعات جغرافیایی (GIS).

\*دانش آموخته کارشناسی ارشد، گروه مهندسی عمران - سنجش از دور، دانشگاه آزاد اسلامی واحد شاهروд abedzadehmostafa@yahoo.com

<sup>۱</sup>نویسنده مسئول، محقق مرکز تحقیقات و آموزش کشاورزی و منابع طبیعی استان سمنان ، گروه مهندسی سنجش از دور و سیستم اطلاعات جغرافیایی، دانشگاه آزاد اسلامی واحد شاهرود beharas2@gmail.com .  
<sup>۲</sup> عضو هیئت علمی، گروه مهندسی عمران - نقشه برداری، دانشگاه آزاد اسلامی واحد شاهرود nankalihamid@gmail.com

<sup>۳</sup>Geographic Information System

<sup>۴</sup>Normalized difference vegetation index

<sup>۵</sup>Moderate Resolution Imaging Spectrometer

<sup>۶</sup>Standardized Precipitation Index

<sup>۷</sup>Land Surface Temperature

<sup>\*</sup>Standardized Precipitation Evapotranspiration Index



**مقدمه**

جلیلی (۱۳۸۴) شاخص های ماهواره ای به دست آمده از ماهواره NOAA/A VHRR و شاخص های هواشناسی را در پایش خشکسالی استان تهران مورد مقایسه قرار داد. زنگ و تایلی (۲۰۰۲) با آنالیز داده های نوا و بالانس انرژی سطحی و با در نظر گرفتن دمای سطح زمین (LST) و دمای سطح دریا ( $SST^{13}$ ) رطوبت سطحی خاک را تخمین زدند.

هپ و همکاران (۱۹۸۶) بین شاخص پوشش گیاهی NDVI و دمای سطحی در شرایط متفاوت رطوبت خاک رابطه ای منفی پیدا کردند. داده های سنجش از دور و جی آی اس که از قابلیت های خوب مکانی و زمانی برخوردار هستند می توانند به عنوان ابزار مناسبی برای پایش مکانی و زمانی خشکسالی از نوع کشاورزی مورد استفاده قرار گیرند. در این تحقیق در نظر است، اثرات خشکسالی کشاورزی استان سمنان با استفاده از شاخص های فوق مورد بررسی قرار گیرد.

**مواد و روش ها****منطقه مورد مطالعه و پارامترهای مورد استفاده**

استان سمنان یکی از استان های کشور ایران است. مرکز و پرجمعیت ترین شهر این استان، شهر سمنان است. مساحت این استان برابر با  $۹۷/۴۹۱$  کیلومتر مربع که  $۵۰/۹$  درصد مساحت کل کشور را شامل می شود. این استان در نظر مساحت ششمین استان ایران است. این استان در منطقه جنوبی رشته کوه های البرز واقع شده که  $۳۵/۰$ % آن را ارتفاعات  $۲۵/۰$ % آن دشت و  $۴۰/۰$ % باقی مانده شامل مناطق بیابانی است. این استان بین  $۳۴$  درجه و  $۱۷$  دقیقه تا  $۳۷$  درجه و  $۳۰$  دقیقه عرض شمالی و از  $۵۱$  درجه و  $۵۸$

خشکسالی یک پدیده ناگوار اقلیمی است که ناشی از کمبود بارندگی در یک دوره زمانی معین بوده و بخش های وسیعی مثل کشاورزی، منابع آب، محیط زیست و غیره را تحت تأثیر قرار می دهد و خسارات زیادی بهمراه دارد. امکان جلوگیری از وقوع خشکسالی وجود ندارد ولی با برنامه ریزی و مدیریت اصولی می توان اثرات تخریبی آن را کاهش داد. مهمترین ابزار برای مدیریت خشکسالی، کمی کردن شدت خشکسالی است. امروزه فن سنجش از دور و سیستم اطلاعات جغرافیایی ابزار مفیدی برای مدیریت و برنامه ریزی منابع طبیعی است. تصاویر ماهواره ای داده ها و اطلاعات وسیعی از سطح زمین در باندهای مختلف جمع آوری می نماید، از باندهای انعکاسی ماهواره ها شاخص پوشش گیاهی و از باندهای حرارتی، دمای سطح زمین تعیین می گردد. در این پایان نامه سعی می شود خشکسالی کشاورزی مورد تحلیل قرار گیرد. تا بتوانیم خطر خشکسالی را مورد بررسی وارزیابی قرار دهیم. برای رسیدن به این هدف لازم است انواع شاخص های خشکسالی را مورد بررسی و سنجش قرار دهیم. داده های مورد استفاده در این تحقیق شامل تصاویر ماهواره ای  $MODIS^7$  در استان سمنان می باشد. که از سایت های مربوطه جمع آوری شده و سپس پس از پردازش های لازم شاخص های مورد نیاز استخراج می گردد. محدوده زمانی تصاویر انتخابی بین سال های  $۲۰۰۰$  تا  $۲۰۱۷$  می باشد. سنجنده  $MODIS$  سنجنده ای با پهنه ای باند باریک می باشد که داده های انعکاسی ترکیبی آن به صورت رایگان هر ۸ روز توسط  $USGS^8$  و از طریق مرکز داده های سیستم های مشاهده منابع زمینی در اختیار قرار می گیرد.

داده های  $MODIS$  می توانند داده های  $NDVI^9$  و  $LST^{10}$  را به دقت زمینی  $۲۵$  متر را تولید کنند. فروغ بیک و سراجیان (۲۰۰۳) برای تخمین دمای سطح زمین در

دقیقه تا  $۵۷$  درجه و  $۵۸$  دقیقه طول شرقی است و ارتفاع مرکز آن از سطح دریا  $۱۶۳۰$  متر است، که از سمت شمال

<sup>8</sup> U.S. Geological Survey

<sup>9</sup> Normalized difference vegetation index

<sup>10</sup> Land Surface Temperature

<sup>11</sup> Advanced Very High Resolution Radiometer

<sup>12</sup> National Oceanic and Atmospheric Administration

<sup>13</sup> Sea Surface Temperature

ایران از داده های مادون قرمز حرارتی سنجنده  $^{11}$  NOOA  $AVHRR^{12}$  استفاده کردند.

گذرماهواره های سنجش از دور تهیه می شوند به عنوان داده های مرجع استفاده شود.

از نرم افزارهای، ERDAS، ArcGIS و ENVI IMAGINE برای انجام تصحیحات هندسی، رادیومتریک و پردازش های اولیه تصاویر MODIS و استخراج اطلاعات تصاویر استفاده شد.

محاسبه شاخص بارندگی تبخیر و تعرق استاندارد شده<sup>۱۴</sup> (SPEI) و شاخص بارندگی استاندارد شده<sup>۱۵</sup> (SPI)

این شاخص در مقیاس های زمانی مختلف از معادله ساده بیلان آب یعنی تفاوت بین بارندگی و تبخیر و تعرق پتانسیل براساس رویکرد تورنتوایت استفاده می نماید. با در نظر گرفتن تبخیر و تعرق پتانسیل PET، تفاوت بین بارندگی P و تبخیر و تعرق پتانسیل برای ماه i به صورت رابطه زیر محاسبه می گردد.

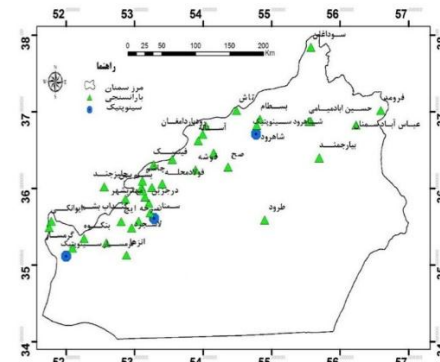
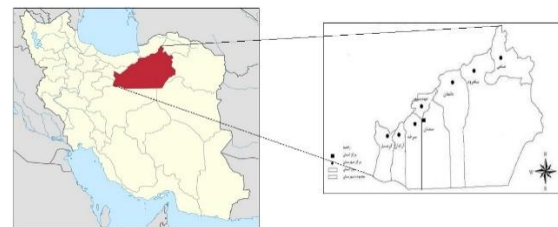
$$D_i = P_i - PET_i \quad (1)$$

بدین ترتیب پس از محاسبهتابع توزیع تجمعی و تبدیل آن به مقادیر نرمال مقادیر شاخص SPEI استخراج می گردد. شاخص SPEI می تواند در مقیاس های زمانی مختلف مانند یک ماه، ۳ ماه، ۶ ماه، ۱۲ ماه و ۴۸ ماه محاسبه گردد. مقادیر مثبت SPEI بیانگر مثبت بودن بیلان آب و مقادیر منفی آن بیانگر منفی بودن بیلان آب است. این شاخص می تواند برای پایش دوره های خشک و مرطوب مورد استفاده قرار گیرد. خشکسالی هنگامی شروع می گردد که مقادیر شاخص به منفی یک برسد و با مثبت شدن آن خاتمه می یابد. کمبود آب به عنوان منبع ایجاد خشکسالی، می تواند ناشی از کمبود بارش باشد. بر این اساس در مراجع از شاخص های خشکسالی مبنی بر بارش جهت ارزیابی شدت خشکسالی استفاده می شود.

<sup>14</sup> Standardized Precipitation Evapotranspiration Index  
<sup>15</sup> Standardized Precipitation Index

اما از آنجا که افزایش تبخیر و تعرق نیز باعث کاهش آب می شود، کمبود بارش به تنها نمی تواند نماینده خوبی از وضعیت خشکسالی باشد. شاخص بارش تبخیر تعرق استاندارد شده (SPEI) مبتنی بر هر دو کمیت بارش و

به استان های خراسان شمالی، گلستان و مازندران، از جنوب به استان های یزد و اصفهان، از مشرق به استان خراسان رضوی و از مغرب و جنوب غرب به استان های تهران و قم محدود است. این استان هم‌اکنون دارای ۸ شهرستان، ۲۰ شهر، ۱۵ بخش و ۳۱ دهستان است. شهرستان های این استان شامل: ۱- سمنان ۲- شهرستان شاهرود ۳- دامغان ۴- گرمسار ۵- مهدیشهر ۶- سرخه ۷- میامی ۸- آرادان می باشد.



شکل(۱): موقعیت جغرافیایی استان سمنان و ایستگاه های مورد مطالعه

تصاویر سنجنده مودیس ماهواره ترا با قدرت تفکیک ۲۵۰ متر و ۱ کیلومتر برای دوره ۱۷ ساله ۲۰۰۰ تا ۲۰۱۷ برای روزهایی که مقادیر رطوبت لایه سطحی خاک موجود بود، از سازمان فضایی ایران تهیه شد. علت تهیه حجم وسیعی از تصاویر با این طول آماری، افزایش دقیقت در برآورد رطوبت لایه سطحی خاک بود. با توجه به دوره رویش حداکثر پوشش گیاهی، دوره ۵ ماهه از مارس تا ژوئیه برای بررسی انتخاب شد. ارزیابی دقیقت داده های برآورده از تصاویر ماهواره ای، با استفاده از داده های مرجع در مراحل مختلف صورت می گیرد. در این تحقیق، ارجحیت داشت از اندازه گیری های رطوبت لایه سطحی خاک که همزمان با

تصادفی توزیع نرمال میل می‌کند. SPI در هر منطقه بر اساس آمار بلند مدت و برای دوره مورد نظر محاسبه می‌گردد. برای این کار توزیع آماری مناسب بر آمار بلند مدت بارندگی ها برازنده می‌شود، متوسط SPI برای آن منطقه و دوره مورد نظر صفر خواهد بود. مقدار مثبت SPI نشان دهنده بارندگی بیش از بارندگی میانه می‌باشد، و مقدار منفی معنای عکس آن را دارد. از آنجایی که SPI استاندارد شده است، برای اقلیم های خشک و مرطوب قابل استفاده، و نتایج برای دوره مورد نظر قابل مقایسه است. طبق این روش دوره خشکسالی هنگامی اتفاق می‌افتد که بطور مستمر منفی و به مقدار ۱- یا کمتر بررسد، و هنگامی پایان می‌یابد که SPI مثبت گردد و مقادیر تجمعی آن، بزرگی و شدت دوره خشکسالی را نشان می‌دهد. شدت طبقه بندی دوره های خشک توسط مک کی و همکارانش (۱۹۹۳). به صورت جدول (۱). تعریف شده است.

جدول (۱): طبقه بندی شدت خشکسالی براساس

SPEI و SPI

توصیف وضعیت	طبقات شاخص
روطوبت بسیار شدید	بیشتر از ۲
روطوبت شدید	۱/۹۹ تا ۱/۵
روطوبت متوسط	۱ تا ۱/۴۹
نرمال	۰/۹۹ تا -۰/۹۹
خشکسالی متوسط	-۱ تا -۱/۴۹
خشکسالی شدید	-۱/۹۹ تا -۱/۵
خشکسالی خیلی شدید	کمتر از -۲

### شاخص تفاضل نرمال شده پوشش گیاهی (NDVI)

شاخص های پوشش گیاهی نوع ویژه ای از شاخص های طیفی هستند که برای استخراج اطلاعات ازداده های تصویری مورد استفاده قرار می‌گیرند. به منظور کاهش اثر عوامل ناخواسته روی اطلاعات پوشش گیاهی و افزایش

تبخیر تعرق می‌باشد. در این تحقیق با انجام یک مطالعه تطبیقی دو شاخص بارش استادارد شده SPI و شاخص SPEI در چند نمونه اقلیمی در استان سمنان مورد مقایسه قرار گرفتند.

آزمون های همگنی شامل آزمون منکندا و آزمون تشخیص نقطه تغییر بر روی سری های زمانی در پنجره های زمانی مختلف ماهانه، در فصل های مختلف و همچنین در مقیاس سالانه انجام شد. به جز چند مورد در چند ایستگاه، نتایج نشان داد که روند معنی داری در سری زمانی این دو شاخص در فصل های مختلف سال وجود ندارد. وجود روند در بارش با وجود روند در سری SPI همخوانی دارد اما از آن جا که شاخص SPEI تنها تحت تاثیر بارش نمی‌باشد، دما و تبخیر تعرق حاصل از آن نیز در روند تغییرات این شاخص اثرگذار هستند. همبستگی بین این دو شاخص به کمک ضریب همبستگی پیرسون نیز بررسی شد و مشخص شد که این دو شاخص در فصل تابستان کم ترین همبستگی و در فصل زمستان بیشترین همبستگی را برقرار می‌کنند. به علاوه، با بزرگتر شدن پنجره زمانی خشکسالی، از میزان همبستگی دو شاخص کاسته می‌شود. در ضمن در اقلیم های مرطوب تر، میزان همبستگی دو شاخص افزایش می‌یابد. در بررسی منطقه ای، تغییرات بین ایستگاهی این شاخص ها مورد مطالعه قرار گرفتند و مشخص شد که شاخص SPI از دامنه تغییرات بیشتری در منطقه برخوردار است به طوری که منطقه کوچکتری را می‌توان به وضعیت خشکسالی هر ایستگاه نسبت داد در حالی که شاخص SPI سطح وسیع تری را در بر می‌گیرد. همچنین دوره های خشکسالی در شاخص SPEI طول دوره بیشتری را نسبت به شاخص SPI داشته و این نشان می‌دهد شاخص SPI از حساسیت بیشتری حتی نسبت به بارش های کم برخوردار است. شاخص SPEI خشکسالی بیلان آبی را با درنظر گرفتن دما و تبخیر و تعرق برآورد می‌نماید. هدف پژوهش حاضر، مقایسه الگوی وقوع خشکسالی براساس شاخص های SPI و SPEI به دلیل ماهیت چند مقیاسی بودن و قابلیت تحلیل خشکسالی در مقیاس های زمانی می‌باشد. از نظر آماری SPI مقدار انحراف معیارهایی است که مقدار مشاهده شده از میانگین دراز مدت بطرف یک مقدار متغیر

قرمز نزدیک است. همان طور که اشاره شد، شاخص اختلاف پوشش گیاهی نرمال شده (NDVI) از تقسیم اختلاف مقادیر باندهای قرمز و مادون قرمز نزدیک بر مجموع آنها به دست می آید:

$$NDVI = \frac{NIR - Red}{NIR + Red} \quad (3)$$

با فرمول بالا و استفاده از امکان مدل نویسی این شاخص محاسبه شد. و با استفاده از مدل نوشته شده، شاخص NDVI برای تک تک پیکسل ها محاسبه و درنهایت تصویر NDVI از کلیه تصاویر مبنا استخراج شد. آزمون همبستگی به منظور تعیین ارتباط شاخص اختلاف پوشش گیاهی نرمال شده (NDVI) بداده های مشاهده شده رطوبت خاک (Obsereved SM) در شرایط متفاوت (NDVI های تأخیری، ۵، ۱۰، ۱۵ و ۲۰ و ۲۵ روزه نسبت به رطوبت لایه سطحی خاک) انجام شد. جدول (۲)، رابطه شاخص NDVI با رطوبت حجمی لایه سطحی خاک (<sup>۱۶</sup>VSM) را در طول دوره مطالعاتی نشان می دهد.

اطلاعات مطلوب، از شاخص های گیاهی استفاده می شود. به عبارت دیگر، شاخص های پوشش گیاهی بیان های ساده ریاضی هستند که باندهای طیفی را ترکیب نموده و برای مشخص نمودن وجود یا عدم وجود پوشش گیاهی در تصاویر بر مبنای ویژگی های طیفی به کار می روند. برای دستیابی به شاخص های گیاهی از دو یا چند باند تصویر استفاده می شود. این شاخص ها اغلب اطلاعات را از کanal های طیفی قرمز و مادون قرمز نزدیک استخراج می کنند و توسط بسیاری از محققین به منظور بررسی شرایط خشکسالی، رطوبت خاک، دمای سطح زمین و... مورد استفاده قرار می گیرند. امروزه بسیاری از متخصصین سنجش از دور محدوده طیفی مادون قرمزحرارتی را برای به دست آوردن اطلاعات از پوشش گیاهی و پایش رطوبت خاک مفیدمی دانند(علوی پناه، ۱۳۸۲؛ نجفی دیسفانی، ۱۳۷۷).

بازتاب تابش گیاهان در محدوده مادون قرمز نزدیک بیشتر از محدوده مرئی است. از این ویژگی برای شناسایی پوشش گیاهی استفاده می شود. شاخص های متعددی برای تعیین پوشش گیاهی با استفاده از تفاضل بازتاب تابش مادون قرمز نزدیک و مرئی ارائه شده است و بوسیله ماهواره هایی که دارای باندهای مرئی و مادون قرمز است قابل تعیین می گردد. از جمله شاخصی که کاربرد زیادی دارد، شاخص تقابل نرمال شده پوشش گیاهی (NDNI) است و بصورت زیر تعیین می گردد:

$$NDNI = \frac{\rho_2 - \rho_1}{\rho_2 + \rho_1}$$

در رابطه فوق:

$NDVI = \text{شاخص تقابل نرمال شده پوشش گیاهی}$

$\rho_1, \rho_2 = \text{بازتاب باندهای ۱ و ۲ سنجنده Terra}$

مقدار این شاخص بین  $-1 \leq \rho_1 < \rho_2 \leq 1$  می باشد. هر چه پوشش گیاهی بیشتر باشد، مقدار این شاخص به سمت یک میل می کند و ارقام نزدیک صفر معرف اراضی بایر و فاقد پوشش گیاهی است. ارقام کمتر از صفر معرف پوشش ابری، برف و آب است زیرا در این پوشش ها بر عکس پوشش گیاهی بازتاب تابش خورشید در محدوده مرئی بیشتر از مادون

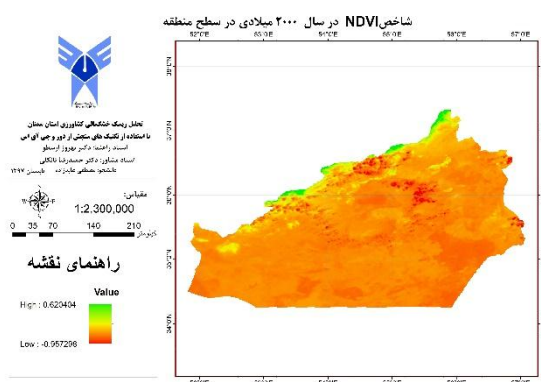
<sup>۱۷</sup> Volumetric Soil Moisture

جدول (۲): مدل های برآورد رطوبت خاک با استفاده از NDVI و ضوابط مربوط به آزمون رگرسیون خطی ساده

و کارلتون (2001) در کرن بلت که در دو سایت جنگل و اراضی زراعی انجام شد، زمان تأخیر در پروفیل 1 متری خاک، بیش از 8 هفته به دست آمد. هر چه وابستگی به بارندگی بیشتر باشد، زمان تأخیر کوتاه تر خواهد بود.

در تحقیق انجام شده توسط وانگ (2005) در منطقه نیمه خشک نیومکزیکو در طول فصل رشد (می-آگوست)، دراعماق 10 و 20 سانتی متری پروفیل خاک، با افزایش زمان تأخیر (به ترتیب بیش از 50 و 30 روز)، ضرایب همبستگی بین NDVI و رطوبت خاک کاهش می یابد ولی در اعماق بیشتر خاک، بر عکس این حالت اتفاق می افتد.

برای مقایسه داده های حاصل از مقادیر رطوبت خاک به دست آمده از نقاط نمونه برداری و نتایج حاصل از مدل های برآورد رطوبت لایه سطحی خاک آزمون ۰/۰۱ در سطح معنی داری ۰/۰۱ انجام شد و در تمامی مدل ها فرض صفر (اختلاف معنی داری بین رطوبت خاک مشاهداتی و به دست آمده از تصاویر (مدل) وجود ندارد) مورد تأیید قرار گرفت. نقشه های خروجی شاخص ماهواره ای پوشش گیاهی نرمال شده (NDVI) استان سمنان در زیر آمده است. شکل زیر:



شکل(۲): شاخص پوشش گیاهی نرمال شده NDVI در تصویر ماهواره ای سال ۲۰۰۰ میلادی در سطح استان سمنان

مدل	معادله	R	R <sup>2</sup>	R <sup>2</sup> -adj	RMSE
1	NDVI = 42.735 SM <sub>o</sub> - 4.896	0/73	0/54	0/53	3/60
2	NDVI = 41.675 SM <sub>(o-5)</sub> - 4.292	0/75	0/56	0/55	4/12
3	NDVI = 50.588 SM <sub>(o-10)</sub> - 5.704	0/74	0/55	0/54	4/2
4	NDVI = 62.843 SM <sub>(o-15)</sub> - 7.236	0/76	0/57	0/56	4/5
5	NDVI = 55.164 SM <sub>(o-20)</sub> - 5.219	0/73	0/54	0/53	4/66
6	NDVI = 58.074 SM <sub>(o-25)</sub> - 5.236	0/68	0/47	0/46	5/64

بررسی مدل های ارائه شده در جدول (۲). بیانگر وجود همبستگی مثبت بین رطوبت حجمی لایه سطحی خاک و متوسط شاخص اختلاف پوشش گیاهی نرمال شده (NDVI-mean) در طول دوره مطالعاتی مورد نظرمی باشد. به طوری که با افزایش میزان رطوبت خاک، مقدار شاخص اختلاف پوشش گیاهی نرمال شده افزایش می یابد و با کاهش آن کم می شود. با توجه به تجزیه و تحلیل های آماری فوق، مدل تأخیری ۱۵ روزه (رابطه (۳)). به منظور برآورد رطوبت لایه سطحی خاک در این تحقیق مناسب تر تشخیص داده شد.

$$SM_{(o-15)} = -7.236 + 62.843 \text{ NDVI} \quad (4)$$

مطالعات پیشین نشان داده است که NDVI عکس العمل تأخیرداری نسبت به رطوبت خاک دارد، که به دلیل عکس العمل تأخیردار گیاه به بارندگی با توجه به ذخیره رطوبتی خاک است. زمان تأخیر وابسته به نوع پوشش گیاهی و نحوه تأمین آب مورد نیاز گیاهان منطقه می باشد (آدکوگ و کارلتون، 2001؛ وانگ، 2001؛ س نکابایل و همکاران، 2003 به نقل از وانگ، 2000 و فرار و همکاران، 1994).

برخی مطالعات نشان داده است که در جنگل ها و اراضی کشاورزی، NDVI به بارندگی بعد از سه ماه پاسخ می دهد (جاستایس و همکاران، 1986؛ ملو و نیچلسون، 1990؛ دون پورت و نیچلسون، 1993؛ فرار و همکاران، 1994؛ نیچلسون و فرار، 1994؛ وانگ، 2000؛ وانگ و همکاران، 2001). در تحقیقات آدکوگ

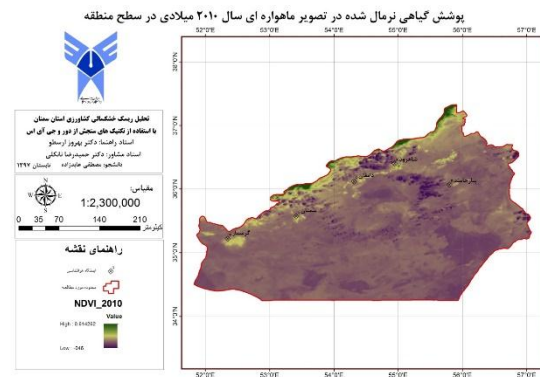
BT بدست آمده از تصاویر سنجنده مودیس در راستای دستیابی به بهترین مدل برآورد رطوبت لایه سطحی خاک، علاوه بر شاخص اختلاف پوشش گیاهی نرمال شده (NDVI)، به این تحقیق اضافه شد. نتایج مدل رگرسیون خطی بین رطوبت خاک و شاخص های مختلف ماهواره ای در جدول (۳). آمده است. بررسی این مدل ها در محدوده مطالعاتی و دوره منتخب تحقیق نشان داد:

- میزان رطوبت خاک متأثر از دمای خاک است. با افزایش دمای خاک، رطوبت و دامنه تغییرات آن کاهش می یابد. این رابطه می تواند به عنوان عاملی مؤثر در برآورد میزان رطوبت خاک سطحی محسوب شود. در این تحقیق مدل رگرسیون خطی ساده نتوانسته است همبستگی معنی داری بین دمای سطح زمین (LST) و رطوبت لایه سطحی خاک ارائه دهد. آماره های خطای مطلق (جدول (۷-۴)). این مدل نیز بالاتر از سایر مدل های ارائه شده می باشد.

- اختلاف دمای درخشندگی باندهای 31 و 32 همبستگی منفی نسبتاً بالایی با رطوبت لایه سطحی خاک دارد. مقایسه ضریب تبیین این مدل (0/60) با مدل های NDVI و LST (ضرایب تبیین به ترتیب؛ 0/53 و 0/28) نشان داد؛ رابطه بین رطوبت خاک و اختلاف دمای درخشندگی باندهای حرارتی قویتر از رابطه NDVI و بخصوص LST با رطوبت لایه سطحی خاک است.

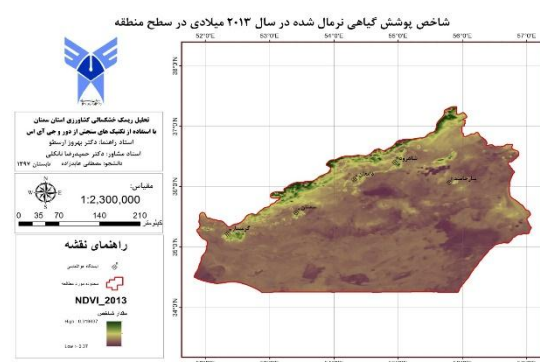
- مدل های به دست آمده از شبکه TVX (شاخص دما/ پوشش گیاهی) توانسته است همبستگی بهتری با رطوبت خاک سطحی در مقایسه با سایر مدل ها ارائه دهد.

- مقایسه نمودارهای همبستگی بین رطوبت خاک مشاهده شده و به دست آمده از این مدل ها (جدول (۳)). و نیز آماره های خطای مطلق (دامنه تغییرات و انحراف معیار) (جدول (۴)). سه مدل آخر را بیش از



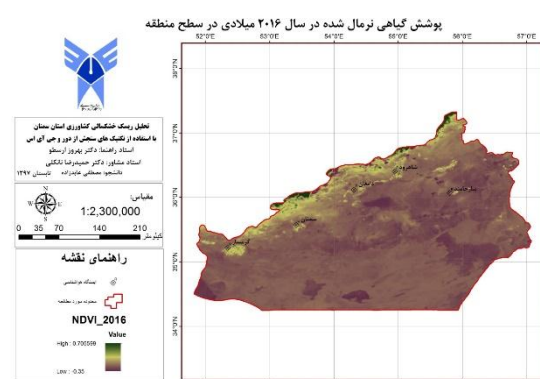
شکل (۳): شاخص پوشش گیاهی نرمال شده NDVI در تصویر ماهواره ای سال ۲۰۱۰ میلادی در سطح استان سمنان

#### ماهواره ای سال ۲۰۱۰ میلادی در سطح استان سمنان



شکل (۴): شاخص پوشش گیاهی نرمال شده NDVI در تصویر ماهواره ای سال ۲۰۱۳ میلادی در سطح استان سمنان

#### ماهواره ای سال ۲۰۱۳ میلادی در سطح استان سمنان

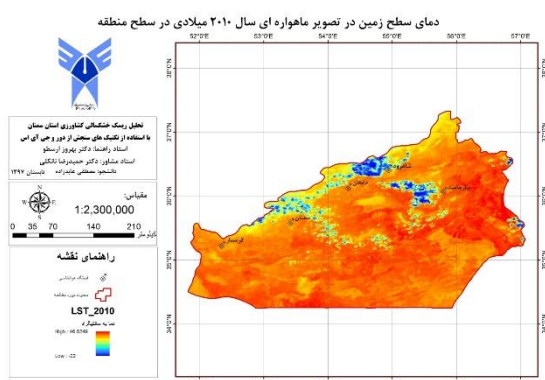


شکل (۵): شاخص پوشش گیاهی نرمال شده NDVI در تصویر ماهواره ای سال ۲۰۱۶ میلادی در سطح استان سمنان

#### ماهواره ای سال ۲۰۱۶ میلادی در سطح استان سمنان

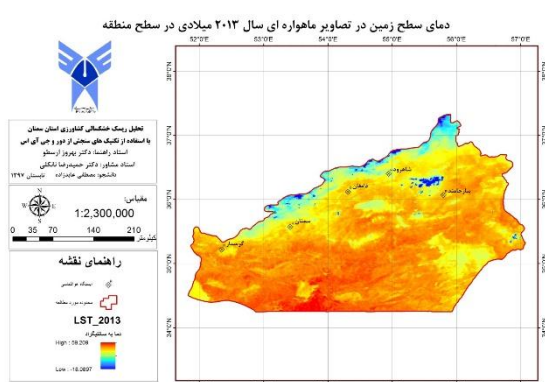
### رابطه رطوبت خاک و شاخص های ماهواره ای

دماهی سطح زمین (LST)، تفاضل دمای درخشندگی باندهای 31 و ۳۲ (BT<sub>31</sub>-<sub>32</sub>) و شبکه رابطه (Slope-LST, Slope-BT<sub>31</sub>, Slope-<sub>32</sub>), TVX



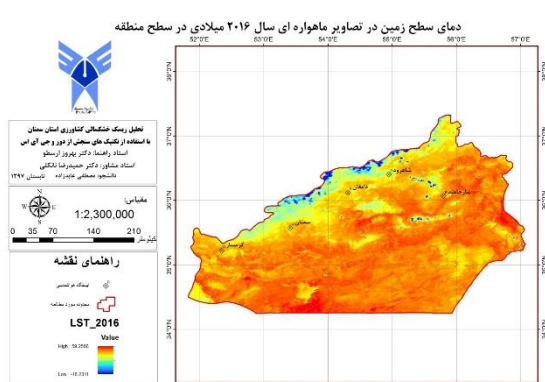
شکل(۷): شاخص دمای سطح زمین LST در تصویر ماهواره ای

#### سال ۲۰۱۰ میلادی در سطح استان سمنان



شکل(۸): شاخص دمای سطح زمین LST در تصویر ماهواره ای

#### سال ۲۰۱۳ میلادی در سطح استان سمنان



شکل(۹): شاخص دمای سطح زمین LST در تصویر ماهواره ای

#### سال ۲۰۱۶ میلادی در سطح استان سمنان

جدول (۴): خلاصه پارامترهای آماری خطای برآورد مدل ها

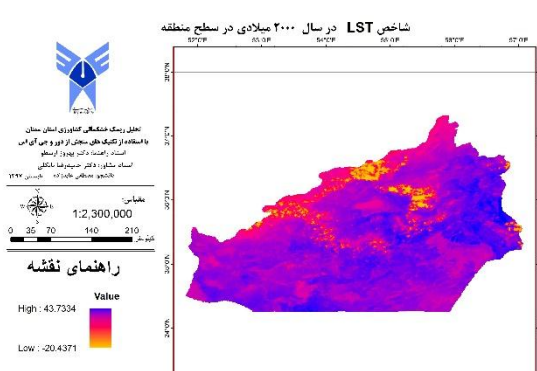
#### درروابط تعیین رطوبت لایه سطحی خاک

بچیه مدل ها برای به دست آوردن رطوبت لایه سطحی خاک تائید می کند.

جدول(۳): ضرایب همبستگی بدست آمده از رابطه شاخص های ماهواره ای و رطوبت لایه سطحی خاک

مدل	معادله	$R^2$ -adj	RMSE
1	$SM_o = -4.896 + 42.735 NDVI$	0/53	3/6
2	$SM_o = 99.945 - 0.306 LST$	0/28	4/48
3	$SM_o = 13.887 - 6.669 BT_{(31-32)}$	0/60	3/33
4	$SM_o = 19.089 + 0.3 Slope-LST$	0/72	2/79
5	$SM_o = 18.756 + 0.294 Slope-BT_{31}$	0/682	2/97
6	$SM_o = 18.446 + 0.289 Slope-BT_{32}$	0/678	2/99

شاخص LST (دمای سطح زمین) در مقایسه با سایر شاخص های مورد بررسی، با توجه به مطالعه ذکر شده، برای ارزیابی رطوبت لایه سطحی خاک دارای اهمیت بیشتری بوده و بدین جهت مورد استفاده قرار گرفت. نقشه های خروجی شاخص ماهواره ای دمای سطح زمین (LST) استان سمنان در زیر آمده است. شکل زیر:



شکل(۶): شاخص دمای سطح زمین LST در تصویر ماهواره ای

#### سال ۲۰۰۰ میلادی در سطح استان سمنان

$$Z_i = SPI_i = P_i - P/S_p \quad .(5)$$

که  $P_i$ : مجموع بارندگی ایستگاه در فصل رشد گیاهان در سال i (میلیمتر)،  $S_p$ : به ترتیب برابر مقدار میانگین و انحراف از معیار (میلی متر) داده های بارندگی ایستگاه در فصل رشد گیاهان است.

مقدار استاندارد شده مجموع بارندگی فصل رشد هر ایستگاه هواشناسی در یک سال معین (در اینجا برابر شاخص هواشناسی SPI فصل رشد در سال معین)، براساس رابطه (۴). محاسبه شد. سپس نقشه رستری SPI استان سمنان برای هرسال با استفاده از روش زمین آماری کریجینگ معمولی در نرم افزار ArcGIS (مناسب ترین روش منتخب برای این پژوهش) استخراج شد و با استفاده از جدول (5) برای هر سال (شامل پنج کلاس شدت) به دست آمد. براساس داده های بارندگی ماهانه سنجنده MODIS به روش مشابه، نقشه کلاس های شدت خشکسالی استان سمنان برای سال های متوالی استخراج شد.

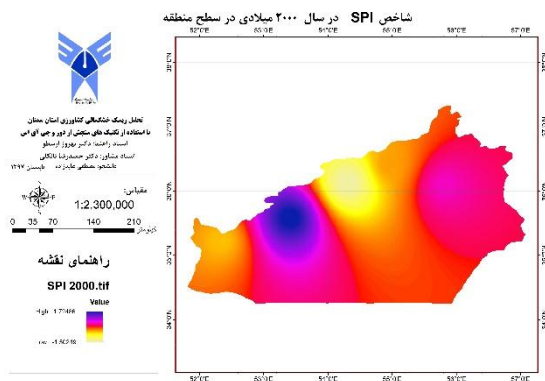
جدول (5): کلاس های شدت خشکسالی در روش شاخص Z (توزیع نرمال استاندارد)

نقشه های رستری به دست آمده با استفاده از روش زمین آماری کریجینگ معمولی و SPI فصل رشد

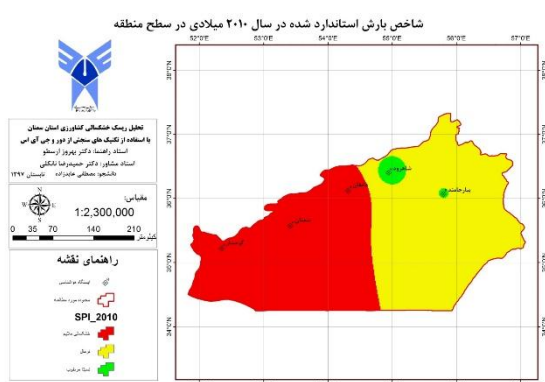
آماره های خطای مطلق	حداکثر	حداقل	مدل	کلاس شدت خشکسالی		مقادیر شاخص Z	نوع خشکسالی (نرمال یا ترکیبی)
				خطای	نوع خشکسالی		
0/55	1	/54	1	بیرونی خشکسالی (نرمال یا ترکیبی)	> 0	0/04	13/04 2
0/84	2	-0/99	0/99	خشکسالی اندک	9/1	9/20	3
0/58	3	-1/49	0/99	خشکسالی متوسط	7/51	7/61	4
0/47	5	-1/99	0/11	خشکسالی شدید	7/44	1/93	5
0/47	6	< -0/30	7/04	خشکسالی خیلی شدید	6/74	1/87	6
0/45							

### شاخص بارش استاندارد شده SPI در ایستگاه های منتخب استان

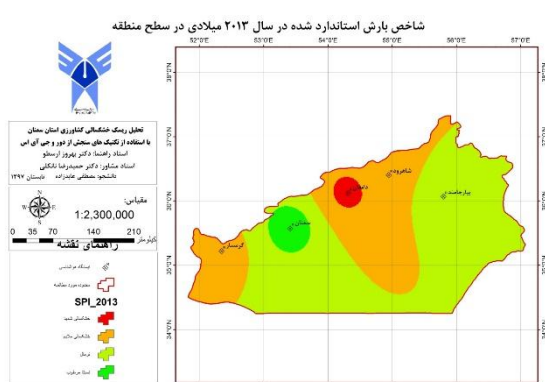
با استفاده از داده های ماهانه بارندگی ایستگاه های باران سنじ، مقدار مجموع بارندگی در فصل رشد گیاهان استان سمنان (آوریل - سپتامبر) برای هر ایستگاه در سال های ۲۰۱۷-۲۰۰۰ محاسبه شد. سپس در هر ایستگاه، مقدار میانگین و انحراف معیار بارندگی همان فصل در دوره آماری مذکور محاسبه شد. در پژوهش حاضر، نتایج آزمون آماری کلموگروف - اسمیرنوف برای متغیر مجموع بارندگی فصل رشد در یک دوره سی ساله، منتهی به سال ۲۰۱۷ برای تمام ایستگاه ها، نشان داد که این متغیر (بارندگی فصل رشد) در تمام ایستگاه ها از توزیع نرمال پیروی می کند. از سویی با توجه به محدودیت زمانی محصولات سنجنده MODIS (۲۰۱۷-۲۰۰۰)، فرض شده است که سری داده های بارندگی شش ماهه ایستگاه ها در دوره آماری نیز، از توزیع نرمال استاندارد Z پیروی کرده و این شاخص را می توان معادل یا هم ارز شاخص هواشناسی SPI فصل رشد گیاهان فرض کرد، ولی در دوره های زمانی ماهانه، به خصوص مناطق خشک و نیمه خشک، شاخص هواشناسی SPI را باید برآورد کرد. براساس توزیع گمل (گیزاچوا، ۲۰۱۰) برآورد کرد.



میلادی در سطح استان سمنان



میلادی در سطح استان سمنان

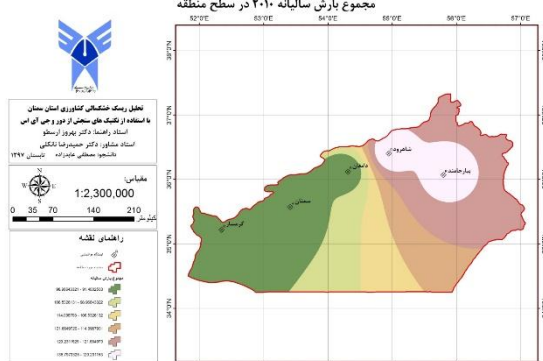


میلادی در سطح استان سمنان

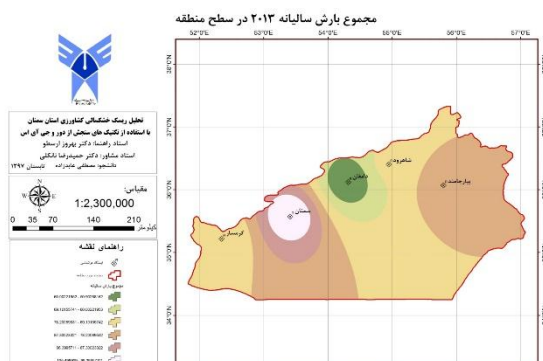
گیاهان (مبتنی بر داده های بارندگی مشاهده ای ایستگاه ها) را در استان سمنان نشان می دهد. مطابق این نقشه ها، در سال های ۲۰۱۰، ۲۰۱۳، ۲۰۱۶، ۲۰۱۷، ۲۰۱۴، این منطقه خشک ترین سال ها را تجربه کرده است. با توجه به شاخص SPI، در سال 2000 (در فصل رشد گیاهان) ۹۲/۸۲، ۷/۱۸، ۰۰۰ درصد از کل منطقه، به ترتیب تحت تأثیر بدون خشکسالی، خشکسالی اندک، خشکسالی متوسط، خشکسالی شدید و خشکسالی

خیلی شدید بوده است. در سال ۹۵/۰۸، ۰/۳۵، ۲/۶، ۹۶/۸ و ۹۵/۰۸ سال 2005 به ترتیب برابر ۰/۲۵، ۰/۱۵، ۰/۱۵ و ۰/۱۵ صفر درصد و در سال 2008 به ترتیب برابر ۰/۱۵، ۰/۱۵، ۰/۱۵ و ۰/۱۵ صفر درصد است. نقشه شاخص خطر خشکسالی نشان می دهد که مناطق شمالی استان از خطر خشکسالی بیشتری برخوردار بوده و در حرکت به سمت جنوب و غرب استان مورد مطالعه از شدت خطر خشکسالی کاسته می شود، بیشترین خطر در مناطق جنوبی یافته می شود که در حرکت به سمت شمال منطقه مورد مطالعه از شدت خطر خشکسالی کاسته می شود. بیشترین درصد منطقه تحت پوشش خطرخشکسالی متوسط (۶۲/۴۶) درصد) و خیلی شدید (۵۳/۱۲) درصد) است. براساس نقشه تقسیمات واحد شهرستان، خطر خشکسالی نشان می دهد که شهرستان مهدیشهر دارای بالاترین خطر خشکسالی بوده و شهرستان های آزادان و گرمسار کم خطر ترین شهرستان ها از نظر خشکسالی در استان می باشند. همچنین خطر خشکسالی در شهرستان های سمنان، سرخه و آزادان در طبقه با خشکسالی خیلی شدید قرار گرفته و شهرستان میامی در طبقه خشکسالی کم قرار گرفته است. نقشه های خروجی شاخص بارش استاندارد شده (SPI) و مجموع بارش سالیانه استان سمنان در زیر آمده است. شکل زیر:

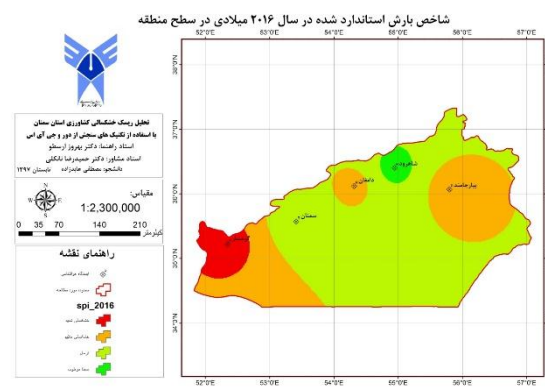
که در کلاس های مذکور تحت تأثیر خشکسالی بوده اند، در سال ۲۰۰۰ به ترتیب برابر ۳/۹۴، ۵۲/۳۶، ۴۲/۰۵، ۱/۶۵ درصد کل منطقه، در سال ۲۰۰۵، به ترتیب برابر ۲۵/۶، ۶۰/۶۴، ۱۳/۷۶، صفر درصد از استان سمنان و در سال ۲۰۰۸، به ترتیب برابر ۸/۹۷، ۵۱/۵۱، ۳۹/۵۲ و صفر درصد منطقه بوده است. بیانگر انطباق مناسب بین ماهواره TERRA و داده های زمینی در تشخیص SPI وجود خشکسالی است. از آن جایی که لایه رستری مبتنی بر TERRA، دارای اطلاعات پیوسته ای از منطقه است، نسبت به لایه رستری SPI زمینی که با استفاده از روش زمین آماری و بر مبنای ۵ ایستگاه باران سنجی به دست آمده، از خطای کمتری برخوردار است. نقشه های خروجی مجموع بارش سالیانه استان سمنان در زیر آمده است: شکل زیر:



شکل(13): مجموع بارش سالیانه در سال ۲۰۱۰ میلادی در سطح استان سمنان



شکل(14): مجموع بارش سالیانه در سال ۲۰۱۳ میلادی در سطح استان سمنان



شکل(13): شاخص بارش استاندارد شده SPI در سال ۲۰۱۶

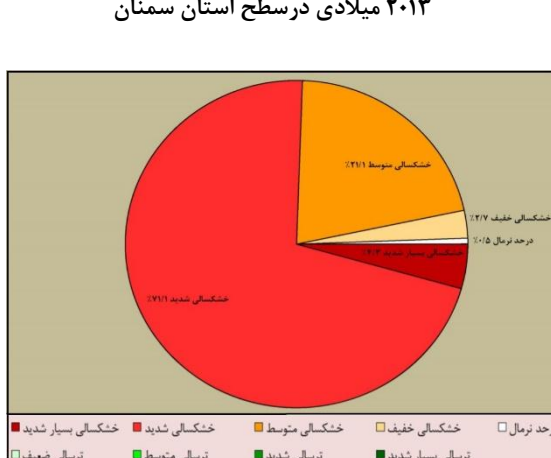
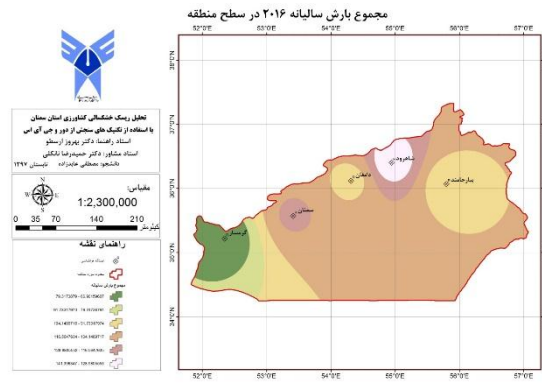
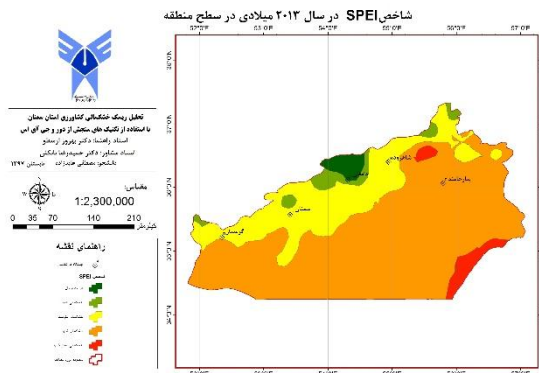
#### میلادی در سطح استان سمنان

اعتبارسنجی داده های بارندگی سنجنده MODIS ماهواره TERRA با استفاده از معیارهای آماری خطای مقایسه مقادیر برابر آورده شده ماهواره و مقادیر مشاهده ای در هر ایستگاه و میانگین بارندگی منطقه در مقیاس ماهانه، فصلی و سالانه انجام گرفت. نتایج اعتبارسنجی نشان داد که بیشترین میزان همبستگی در مقیاس فصلی (0/95) است. کمترین مقدار RMSE در مقیاس ماهانه و بزرگترین مقدار آن در مقیاس سالانه است. مقدار میانگین خطای نیز هرچه به عدد صفر نزدیکتر باشد، بیانگر مشابهت بیشتر مقادیر برآورده و مشاهده ای است. نتایج مقیاس ماهانه، TERRA کارایی قابل قبول آن را بیان می کند. بنابراین مقادیر بارندگی دوره فصل رشد گیاهان در هر ایستگاه، از جمع مقادیر ماهانه ماهواره TERRA برآورد شد. جدول(6).

جدول(6): میانگین معیارهای خطای در مرحله اعتبارسنجی داده های برای تمام ایستگاه های انتخابی TERRA

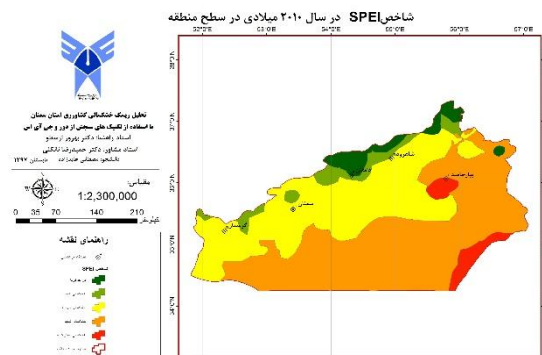
مقیاس زمانی	ME	RMSE	R	R
ماهانه	-۴/۲۳	۵/۳	۰/۸۳	۰/۹۱
فصلی	-۱۰/۷۲	۱۲/۸	۰/۸۹	۰/۹۵
سالانه	-۵۰/۷۶	۲۰/۵	۰/۶۷	۰/۸۲

در سال های ۲۰۱۰، ۲۰۱۳، ۲۰۱۶ و ۲۰۱۷، خشکسالی در فصل رشد گیاهان، سطح گسترده ای از استان سمنان را فراگرفته است. در این سال ها خشکسالی کمابیش کل استان را تحت تأثیر قرار داده است. درصد مساحتی از استان



### پهنگ بندی خشکسالی در سطح استان سمنان براساس شاخص SPEI

مطابق این نقشه ها و جدول مربوطه  $\frac{99}{4}$  درصد مساحت استان سمنان دچار خشکسالی است که شامل خشکسالی خفیف، متوسط، شدید و بسیار شدید می باشد. عمدۀ ترین پهنگ های خشکسالی شدید و بسیار شدید ۸۴ ماهه در شهرستان های شاهرود، سرخه، سمنان، آزادان، گرم‌سار و میامی دیده می شود. نقشه های خروجی شاخص بارش تبخیر و تعرق استاندارد شده های خروجی شاخص بارش تبخیر و تعرق استاندارد شده (SPEI) استان سمنان در زیر آمده است. شکل زیر:



شد. گفتنی است، به دلیل محدودیت دانلود داده های ماهواره ای، عدد ۹ به منزله حداکثر فراوانی در نظر گرفته شده است. با توجه به دور آماری ۱۷ ساله، احتمال وقوع ۰ تا ۰/۱۵ به منزله عدم خشکسالی، ۰/۱۵ تا ۰/۳ به معنای خشکسالی اندک، ۰/۴۶ تا ۰/۳ نماینده خشکسالی متوسط، ۰/۴۶ تا ۰/۷۶ نشان دهنده خشکسالی شدید و ۰/۷۶ تا ۱ بیانگر خشکسالی خیلی شدید است.

نقشه ریسک خشکسالی، از ترکیب وزنی خطی نقشه های احتمال وقوع خشکسالی SPI و شاخص آنومالی NDVI به دست می آید. در پژوهش حاضر به نقشه های به دست آمده از هر روش، وزن ۰/۵ (اهمیت یکسان) اختصاص داده شده است.

نقشه های ریسک خشکسالی استان سمنان براساس ترکیب روش SPI مبتنی بر داده های زمینی و آنومالی NDVI و ترکیب روش SPI مبتنی بر داده های TERRA و آنومالی NDVI نشان می دهد که، استان سمنان به چهار منطقه خطرپذیراز نظر خشکسالی (شامل خطر کم، متوسط، شدید و خیلی شدید) طبقه بندی شده است. احتمال وقوع کلاس های خطر کم تا خیلی زیاد، به ترتیب برابر ۰/۱۵ تا ۰/۳، ۰/۴۶ تا ۰/۳ و ۰/۷۶ تا ۱ است. نقشه ریسک نشان می دهد که در دوره آماری ۲۰۰۰-۲۰۱۷، بخش گسترده ای از استان سمنان در مناطق شمالی و جنوبی استان (حدود ۷۱/۲ درصد)، در معرض خطر شدید خشکسالی قرار گرفته است. همچنین بخش کوچکی از سطح استان (قسمت هایی از شمال شرقی و جنوب شرقی) در معرض خطر خیلی شدید خشکسالی قرار دارد. بخش مرکزی استان با مساحتی حدود ۳۹/۸ درصد، خطر خشکسالی متوسط را تجربه کرده است. براساس نقشه ریسک به دست آمده از داده های ماهواره ای های خطر نرمال، خفیف، متوسط، شدید و خیلی شدید، به ترتیب برابر ۰/۵، ۰/۷، ۰/۱، ۰/۱ و ۴/۳ درصد از کل استان است. نقشه های ریسک از هر دو روش در بیشتر مناطق استان سمنان با هم مطابقت دارند.

NDVI تهیه شد. به گفته دیگر در دوره آماری ۲۰۰۰-۲۰۱۷، به تعداد ۱۷ لایه صفر- یک (۱ و ۰) بر اساس روش SPI و ۱۷ لایه صفر- یک (۱ و ۰) بر اساس روش آنومالی NDVI استخراج شد. اگر مقدار یک پیکسل در ۱۷ لایه برابر ۱ باشد، به این معناست که در تمام سال های خشکسالی در آن رخ داده است، هر چند شدت خشکسالی در سال های مختلف، متفاوت باشد.

در رابطه زیر DRI شاخص ریسک، DVI شاخص خطر و DVI شاخص آسیب پذیری می باشد که با ضرب کردن دو لایه خطر خشکسالی و آسیب پذیری به خشکسالی، نقشه ریسک خشکسالی به دست آمد. روی نقشه به دست آمده طبقه بندی دوباره انجام گرفت که درنهایت ریسک خشکسالی بر اساس نقاط شکست به ۴ طبقه ریسک کم، متوسط، بالا و خیلی بالا تقسیم بندی شد.  

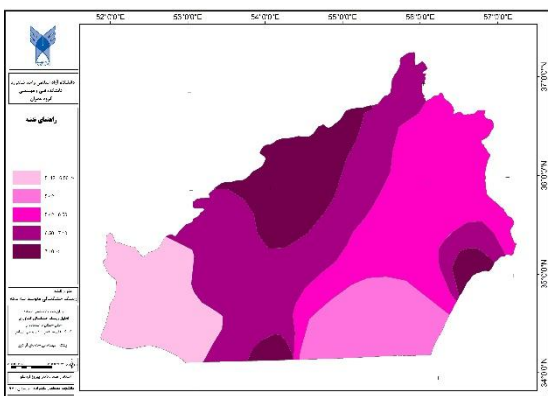
$$DRI = DVI \times DVI \quad (6)$$

جدول (7): طبقات تعریف شده برای DHI

کم	متوفط	شدید	خیلی شدید
۱ - ۰/۷۵	۰/۵۰ - ۰/۷۵	۰/۲۵ - ۰/۵۰	۰ - ۰/۲۵

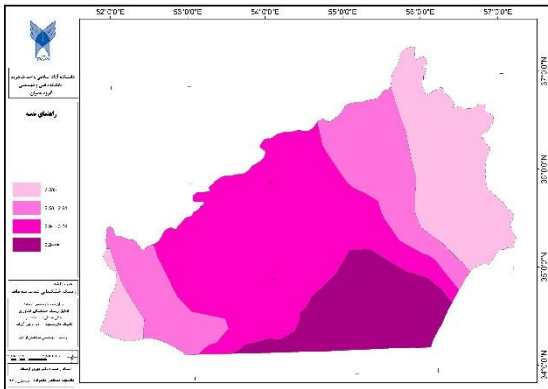
در مرحله بعد با جمع لایه های صفر- یک در هر روش، نقشه فراوانی وقوع خشکسالی در دوره ۱۷ ساله آماری به دست آمد. با توجه به تعریف گونفا (1996)، احتمال وقوع خشکسالی در یک منطقه مشخص را می توان به احتمال وقوع کم، متوسط و زیاد طبقه بندی کرد. بدین معنا که اگر خشکسالی در بیش از ۵۰ درصد دوره آماری رخ داده باشد، احتمال وقوع خشکسالی زیاد؛ اگر وقوع خشکسالی در ۳۰ تا ۵۰ درصد دوره باشد، احتمال وقوع خشکسالی متوسط و اگر خشکسالی در کمتر از ۳۰ درصد اتفاق افتاده باشد، به معنای احتمال کم است. بر این اساس، برای هر روش نقشه ریسک یا خطر خشکسالی (۰-۲ عدم خشکسالی، ۲-۳ خشکسالی اندک، ۳-۴ خشکسالی متوسط، ۴-۶ خشکسالی شدید و ۶-۹ خشکسالی خیلی شدید) به دست آمد.

با ترکیب وزنی خطی نقشه های فراوانی به دست آمده از دو روش، نقشه نهایی ریسک خشکسالی استان سمنان تهیه



شکل(20): نقشه ریسک خشکسالی متوسط (۳ ماهه)

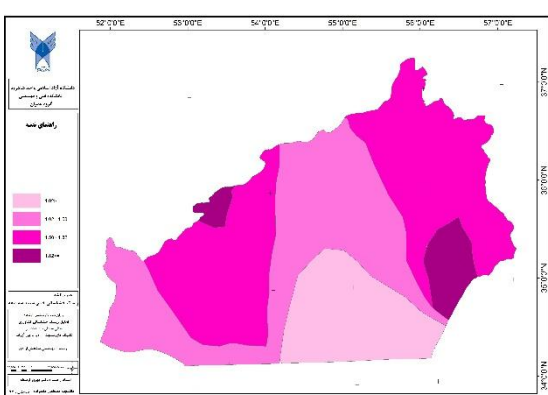
در گام زمانی ۳ ماهه ریسک خشکسالی شدید شکل (21). نشان می دهد که مناطق جنوبی بیشتر در معرض وقوع خشکسالی شدید قرار دارد و در حرکت از مناطق مرکزی به سمت شرق و غرب منطقه از میزان فراوانی آن کاسته می شود. ریسک خشکسالی خیلی شدید شکل (22). نشان می دهد که مناطق جنوبی و غربی منطقه دارای کمترین فراوانی وقوع خشکسالی خیلی شدید بوده و بخش هایی در مرکز، شمال و شرق منطقه دارای فراوانی وقوع خشکسالی زیاد هستند.



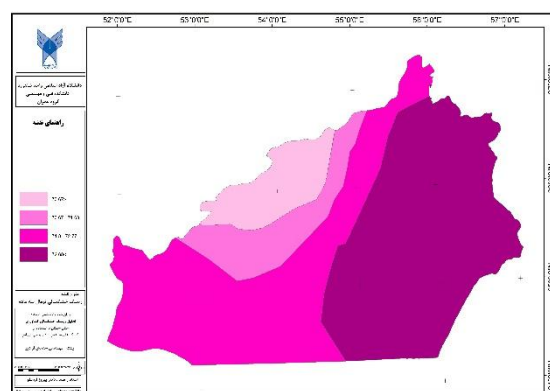
شکل(21): نقشه ریسک خشکسالی شدید (۳ ماهه)

در گام زمانی ۱۲ ماهه ریسک خشکسالی شدید شکل (25). نشان می دهد که مناطق مرکزی و شرقی بیشتر در معرض وقوع خشکسالی شدید قرار دارد و در حرکت به سمت غرب منطقه از میزان فراوانی آن کاسته می شود. ریسک خشکسالی خیلی شدید شکل (26). نشان می دهد که مناطق غربی منطقه دارای بیشترین فراوانی وقوع خشکسالی خیلی شدید بوده و در حرکت به سمت شرق منطقه مورد مطالعه از میزان فراوانی آن کاسته می شود.

نقشه های ریسک خشکسالی شدید گام های زمانی ۳ و ۱۲ ماهه اشکال (21) و (25). نشان داد که این نقشه ها از الگوی مکانی پراکنش مشابهی برخوردارند، به گونه ای که مراکز مرکزی استان در خشکسالی شدید و خیلی شدید قرار گرفته و در حرکت از مرکز به سمت شرق و غرب استان از شدت وقوع کاسته می شود و باشدت وقوع کم ظاهر می شود و همچنین میزان منطقه قرار گرفته شدید و خیلی شدید نسبت به نرمال و متوسط قابل ملاحظه است.



شکل(22): نقشه ریسک خشکسالی خیلی شدید (۳ ماهه)

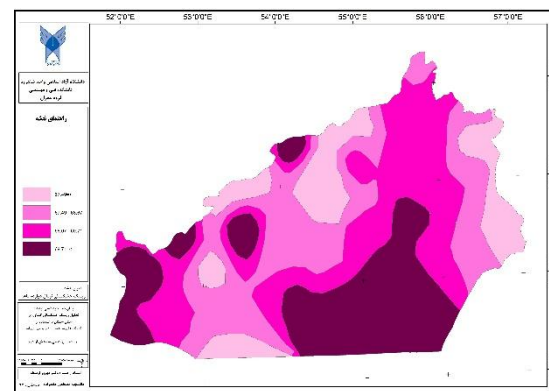


شکل(19): نقشه ریسک خشکسالی نرمال (۳ ماهه)

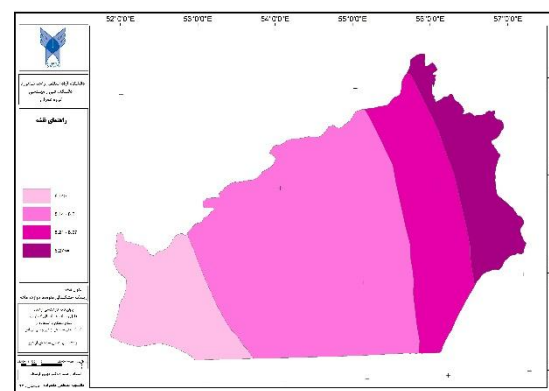
## بحث و نتیجه گیری

مهمترین گام در مدیریت خشکسالی به عنوان یک مخاطره جوی شناخت پدیده از ابعاد مختلف است. با توجه به دامنه وسیع تر خشکسالی در بخش های مختلف می باشد توزیع فضایی آن را مدد نظر قرار داد. رخداد های کوتاه مدت مسلمان نتایج قابل استنادی را برای مدیریت و تصمیم سازی در اختیار نمی گذارند و می باشد در بازه های مختلف آن را مد نظر قرار داد. با وجود آن که بارش در مارس ۲۰۱۶ به مقدار قابل توجهی رسیده است ولی این به مفهوم خروج از خشکسالی نیست. بنا به تعریف شاید بتوان شرایط اقلیمی مناسب را در کوتاه مدت تعریف کرد ولی همان طور که در نقشه ها مشاهده می شود هر چقدر دوره زمانی به سمت بلند مدت می رود آثار خشکسالی بیشتر و بیشتر می شود. و آن چه که قابل توجه و مهم است گستره وسیع خشکسالی در دراز مدت است، که بنا به تعریف بیشترین تاثیر آن بر منابع آب است. دیگر نکته حائز اهمیت افزایش پهنه های خشکسالی های شدید در بازه های زمانی طولانی بر روی کاربری های کشاورزی و منابع طبیعی است. همچنین نقاط متراکم جمعیتی در دوره های بلند مدت در معرض خشکسالی قرار گرفته اند.

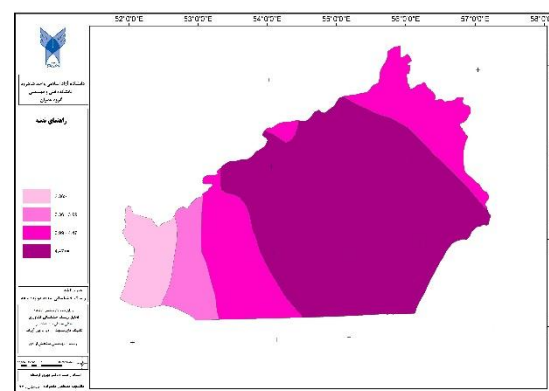
تحقیق حاضر، تغییرات مکانی پوشش گیاهی و درجه حرارت سطح زمین ناشی از خشکسالی در قالب شاخص های (LST)، (NDVI)، (SPI) و (SPEI) را در استان سمنان بین سال های ۲۰۰۰ تا ۲۰۱۷ را نشان می دهد. نتایج این تحقیق نشان می دهد که اثرات خشکسالی بر پوشش گیاهی و درجه حرارت سطح زمین متفاوت بوده و تابع عوامل مختلفی مانند ماه، نوع و خصوصیات پوشش گیاهی و شرایط دمایی آن ها است. شاخص NDVI یکی از شاخص های خشکسالی است که به صورت وسیعی در پایش و ارزیابی خشکسالی مورداستفاده قرار می گیرد. این شاخص توانایی نمایش اثرات خشکسالی هم بر پوشش گیاهی و هم بر درجه حرارت سطح زمین را دارد. نتایج نقشه های حاصل از شاخص NDVI نشان می دهد که سال های ۲۰۰۰، ۲۰۰۱، ۲۰۰۶، ۲۰۰۷، ۲۰۰۸، ۲۰۱۶، ۲۰۱۷ به عنوان سال های با شدت خشکسالی بیشتر و سال های



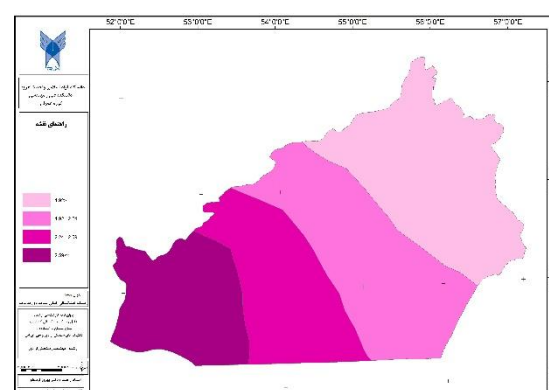
شکل(23): نقشه ریسک خشکسالی نرمال (۱۲ ماهه)



شکل(24): نقشه ریسک خشکسالی متوسط (۱۲ ماهه)



شکل(25): نقشه ریسک خشکسالی شدید (۱۲ ماهه)



شکل(26): نقشه ریسک خشکسالی خیلی شدید (۱۲ ماهه)

میانگین مربعات خطاهای (RMSE)، شاخص اختلاف پوشش گیاهی نرمال شده، تفاوت دمای درخشندگی باندهای 31 و 32 و شیب رابطه TVX (شاخص دما/پوشش گیاهی) به عنوان متغیرهای مؤثر در برآورد خشکسالی کشاورزی تشخیص داده شدند.

- شاخص اختلاف پوشش گیاهی نرمال شده (NDVI) با میزان خشکسالی کشاورزی همبستگی مثبت و معنی داری از لحاظ آماری نشان داد.

- با توجه به نمودارها و جداول ارائه شده در قسمت نتایج تفاوت دمای روشنایی (درخشندگی) باندهای 31 و 32 و شیب رابطه TVX با میزان خشکسالی کشاورزی دارای همبستگی منفی و معنی داری از لحاظ آماری است.

- مدل های همبستگی حاصل از روابط بین رطوبت خاک و پارامترهای تصویری، قابلیت های زیادی برای برآورد خشکسالی کشاورزی نشان دادند.

این که علاوه بر متغیرهای به کار رفته در مدل ها، کدام متغیرهای دیگر قابل استخراج از تصاویر ماهواره ای، می توانند نقش تعیین کننده ای در تخمین خشکسالی کشاورزی داشته باشند، سوالی است که با تحقیقات در سطح وسیع تر و با تکرار بیشتر می توان به آن پاسخ داد.

### پیشنهادات

با توجه به نتایج کسب شده در این مطالعه و احساس نیاز به تحقیق بیشتر در این زمینه، برای ادامه تحقیق موارد زیر قابل طرح می باشند:

- توسعه مدل با بررسی طیف بیشتری از شاخص های ماهواره ای.

- توسعه تحقیق برای مناطق با پوشش های گیاهی دیگر و به خصوص مناطق زراعت آبی با اعمال اثر آبیاری ها.

۲۰۰۰ و ۲۰۱۳ به عنوان سال های با کمترین درجات شدت خشکسالی بوده اند.

بررسی شاخص LST در دوره مطالعه نشان می دهد که در سال های ۲۰۰۰، ۲۰۰۱، ۲۰۰۳، ۲۰۰۵ و ۲۰۰۷ شرایط دمایی در استان مطلوب است. در سال های ۲۰۰۳ و ۲۰۰۷ مطلوب ترین شرایط دمایی در استان دیده می شود. در سال های ۲۰۰۴ و ۲۰۰۶ شدیدترین شرایط دمایی در استان برقرار است. همچنین بیشترین درصد مساحت مربوط به طبقه بدون خشکسالی (۵۶ درصد) و کمترین مربوط به

طبقه خشکسالی خیلی شدید (۲ درصد) بوده است. در مطالعه حاضر شاخص های بارش استاندارد شده (SPEI) و بارش تبخیر و تعرق استاندارد شده (SPI) دراستان سمنان مورد محاسبه و مقایسه قرار گرفت که شاخص بارش تبخیر و تعرق استاندارد شده پاسخ سریع تری نسبت به خشکسالی نشان داد. به طور کلی تعیین و ارزیابی عوامل و فرآیندهای مؤثر بر خشکسالی و چگونگی تأثیر آن ها بر شرایط خشکسالی بسیار سخت خواهد بود. همچنین تغییرات درشت بارش می تواند نسبت رواناب به بارش (ضریب رواناب) را تغییردهد که موجب تغییر بیلان آب و رژیم هیدرولوژیک می گردد. این پیچیدگی ها نشان می دهد که تحقیقات خشکسالی به ویژه با در نظر گرفتن فرآیند گرم شدن زمین با ابداع شاخص هایی که توانایی پایش خشکسالی را براساس پارامترهای مؤثر داشته باشند الزامی است. ۹۹/۴ درصد مساحت استان سمنان دچار خشکسالی است که شامل خشکسالی خفیف، متوسط، شدید و بسیارشدید می باشد. عمدۀ ترین پهنه های خشکسالی شدید و بسیارشدید ۸۴ ماهه در شهرستان های شهرود، سرخه، سمنان، آزادان، گرمسار و میامی دیده می شود. بدین ترتیب تحقیقات بیشتر درزمینه شاخص معرفی شده پیشنهاد می گردد. مهمترین یافته های این تحقیق را می توان به صورت زیر خلاصه نمود:

- با بررسی مقادیر پارامترهای آماری استفاده شده در این تحقیق از قبیل ضریب تبیین ( $R^2$ ) و مجدول

- پور اصغر، ف. ۱۳۸۲. بررسی توزیع دما در سطح دریاچه ارومیه با استفاده از تصاویر ماهواره‌ای، دانشکده منابع طبیعی و علوم دریایی، دانشگاه تربیت مدرس.
- شاهرخی، م. ۱۳۸۲. تصحیح هندسی تصاویر سنجنده MODIS با استفاده از پارامترهای مداری، پایان نامه کارشناسی ارشد، دانشگاه تهران.
- علی اصغرزاده، ح. و ثانی نژاد، س. ج. ۱۳۸۵. تخمین تبخیر- تعرق گیاهان با استفاده از داده‌های سنجش از دور (RS) و سیستم اطلاعات جغرافیایی (GIS) در حوضه آبخیز تنگ کنشت کرمانشاه.
- کریمیان، آ. و افخمی، م. ۱۳۸۵. کشاورزی صحیح با بهره گیری از تکنولوژی GIS و RS گامی در جهت توسعه پایدار زیست محیطی. مجموعه مقالات همایش ملی مدیریت شبکه‌های آبیاری و زهکشی، جلد اول، ۳۶۱-۳۶۶.
- گودرزی فراهانی، ن. ۱۳۸۳. تحلیل درجه حرارت بیابان لوت با استفاده از تصاویر سنجنده مودیس از ماهواره ترا، پایان نامه کارشناسی ارشد، دانشکده جغرافیا، دانشگاه تهران.
- موقعی، س. ۱۳۸۲. بررسی امکان سنجش آلودگی هوای تهران با استفاده از تصاویر سنجنده MODIS، پایان نامه کارشناسی ارشد، دانشگاه تهران.
- یارمحمدی، پ. ۱۳۸۴. لزوم بکارگیری توأم سیستمهای اطلاعات جغرافیایی و سنجش از دور در پایش خشکسالی‌های خشکی و خشکسالی کشاورزی، شماره ۱۸.
- شاپرگان، مهران ۱۳۸۱، تجزیه و تحلیل ریسک خشکسالی با استفاده از داده‌های سنجش از دور و GIS مطالعه موردی: قوچان حوضه - شیروان پایان نامه دوره کارشناسی ارشد، دانشگاه تربیت مدرس.
- ارسطو، بهروز ۱۳۹۲، برآورد شاخص خشکسالی اقلیمی با استفاده از شاخص تفاضلی نرمال شده پوشش گیاهی در پوشش اراضی مختلف در استان سمنان، اولین همایش ملی کاربرد علوم و فناوری‌های نوین در کشاورزی و منابع طبیعی، میبد، دانشگاه آزاد اسلامی واحد میبد.

- انجام تحقیق برای موقعیت‌های اقلیمی دیگر در کشور.
  - استفاده از داده‌های راداری برای برآورد رطوبت لایه سطحی خاک.
  - استفاده از تصاویر با قدرت تفکیک مکانی بالا نظیر ASTER، TM و MSS (به دلیل بزرگ بودن پیکسل‌های تصاویر مودیس در مقایسه با اغلب واحدهای کاربری و افزایش دقت کار به خصوص در مناطقی با پوشش سطحی ناهمگن).
  - استفاده از تعداد تصاویر بیشتر و بهره برداری از تجهیزاتی از قبیل رادیومتر برای اندازه گیری و ثبت بازتاب‌ها و تصحیح دقیق تراث‌رات اتمسفری.
  - استفاده از آنالیز حساسیت برای الیت بندی پارامترهای موجود در مدل بر اساس میزان تأثیر آن‌ها در خروجی مدل (با این عمل می‌توان وقت و هزینه بیشتری را جهت افزایش دقت پارامترهایی که بیشترین تأثیر را در مدل دارا می‌باشند، صرف کرد).
  - توسعه تحقیق برای یک دوره طولانی جهت ارائه مدلی مناسب برای پیش‌بینی خشکسالی کشاورزی.
  - بررسی ارتباط انحراف از LST و رطوبت لایه سطحی خاک در تحقیقی مشابه.
  - توسعه تحقیق در اعمق مختلف خاک برای سایر پوشش‌های گیاهی.
- منابع:**
- بی‌نام ۱۳۶۷. آموزش فن سنجش از دور در ایران، امور آموزش مرکز سنجش از دور ایران.
- بی‌نام، ۱۳۸۴. طرح پایش خشکسالی ایران با استفاده از داده‌های هواشناسی و تصاویر ماهواره‌ای. شرکت ساجاب گستران، سازمان جنگل‌ها و منابع طبیعی.

- Doraiswamy, P.C., Hatfield, J.L., Jackson, T.J., Akhmedov, B., Prueger, J., and Stern, A., 2004. Crop condition and yield simulations using Landsat and MODIS. *Remote Sensing of Environment*, 92, 548–559.
- Dozier, J., and Wan, Z., 1994. Development of practical multiband algorithms for estimating landsurface temperature from EOS/MODIS data.
- EL-Kharraz, J. Sobrino, J. Jimenez-Munoz, G. Soria, M. Gomez, M. Romaguera, and M. Luis, 2003. land surface temperature and NDVI time series derived from NOAA-Pathfinder images and reanalysis dat over the Mediterranean basin.
- International GeoScience and Remote Sensing Symposium, 4: 2765-2767.
- Farrar, T. J., Nicholson, S. E., and Lare, A. R., 1994. The influence of soil type on the relationships between NDVI, rainfall, and soil moisture in semiarid Botswana. II. NDVI response to soil moisture. *Remote Sensing of Environment*, 50:121133.
- Foroogh Beik and Saradjian, M. Reza, 2003. Emissivity Determination for Land Surface Temperature estimation of Iran using AVHRR Thermal Infrared Data.
- Goetz, S. J., 1997. Multi-sensor analysis of NDVI, surface temperature and biophysical variables at a mixed grassland site. *International Journal of Remote Sensing*, 18 (1), 71– 94.
- Leblon, B., 1995. SOIL AND VEGETATION OPTICAL PROPERTIES Remote Sensing and GIS laboratory, Faculty of Forestry and Environmental Management, University of New Brunswick, Fredericton (NB), Canada, E3B 6C2.
- Nicholson, S. E., & Farrar, T. J., 1994. The influence of soil type on the relationships between NDVI, rainfall, and soil moisture in semiarid Botswana: I. NDVI response to rainfall. *Remote Sensing of Environment*, 50, 107– 120.

ارسطو، بهروز ۱۳۷۹، بررسی و پیش بینی روند خشکسالی اقلیمی با استفاده از تحلیل سری های زمانی مطالعه موردی (ایستگاه های منتخب استان سمنان)، اولین کنفرانس ملی بررسی راهکارهای مقابله با کم آبی و خشکسالی، جهاد دانشگاهی استان کرمان.

ارسطو، بهروز و همکاران، ۱۳۸۸، بررسی روند خشکسالی و تعیین معیارها و مدل سازی خشکسالی بخش کشاورزی استان سمنان طرح خاص به سفارش سازمان جهاد کشاورزی استان سمنان، طرح پژوهشی مرکز تحقیقات کشاورزی و منابع طبیعی استان سمنان. پورتال مرکز ملی پایش و هشدار خشکسالی سازمان هواشناسی کشور. بداق جمالی ج.س، ر، جوانمرد و و-ر شیرمحمدی. ۱۳۸۱ پایش و پنهنه بندهی خشکسالی استان خراسان با استفاده از نمایه بارش استاندارد شده. *تحقیقات جغرافیایی* ۶۷: ۴-۶.

پیرمرادیان، ن؛ شمس نیا س.ا و شاهرخ نیا، م.ع (۱۳۸۶). پایش و تحلیل پراکندگی مکانی شدت خشکسالی سال زراعی ۱۳۷۹-۸۰ استان فارس با استفاده از شاخص معیارشده بارش (SPI) در محیط سامانه اطلاعات جغرافیایی (GIS) مجله مهندسی آب دوره ۱ شماره ۱، ۶۱-۷۰، صص.

چایچی، م. و شهابی‌فر(۱۳۸۷). پایش خشکسالی کشاورزی با استفاده از شاخص های ماهواره ای در استان تهران، اولین کنفرانس بین المللی، بحران آب ۲۰-۲۲، اسفندماه ۱۳۸۷، دانشگاه زابل.

خواجه، ف. (۱۳۸۶). پایش خشکسالی با استفاده از شاخص اختلاف پوشش گیاهی نرمال شده (NDVI) در استان اصفهان ، پایان نامه کارشناسی ارشد، دانشکده منابع طبیعی، دانشگاه صنعتی اصفهان.

- Allison, E. W., R. J. Brown, H. E. Press, and J. G. Gairns, 1989. Monitoring drought affected vegetation with AVHRR. *Digest- International Geoscience and Remote Sensing Symposium*, 4: 1965-1967.
- Anyamba, A., and Estman, J. R., 1996. Interannual variability of NDVI over Africa and its relation to EL Nino/ Southern Oscillation. *International Journal of Remote Sensing*, 17, 2533-2548.

## Agricultural Drought Risk Analysis Using Remote Sensing Techniques and GIS (Case Study: Semnan Province)

**Mostafa Abedzadeh \*<sup>1</sup>, Behrouz Arastoo<sup>2</sup>, Hamid Reza Nankeli<sup>3</sup>**

### Abstract

Agricultural drought is one of the most complex natural disasters. Due to spatial and temporal variations This phenomenon needs to improve the information and tools available to monitor this phenomenon on all scales. Remote sensing data and GIS, An appropriate monitoring tools to assess the extent and severity of droughts available in the villages. Plant growth rate is one of the most important indicator of the occurrence of drought . In this study, a number of plant indices were evaluated and, as a result, the indicator NDVI As appropriate The highest index for vegetation has been selected .

In this study, from the images MODIS The resolution right time and place for the province Drought risk analysis have been used. Period covered by the month March to July of the year 2000 2017. First, geometric and radiometric correction images Have. Then by evaluating a seven -year series of images NDVI, SPI, LST, SPEI And the total annual rainfall in the region, the trend of drought changes has been shown. In this study, by using the satellite indices mentioned in Semnan province, the climate of the drought affected area was investigated. Satellite indicators show the effects of drought in Semnan

province in 2000 , 2010 , 2013 , 2016 .

According to this index in 2000 , 2001, 2006, 2007, 2016, 2017 there has been a drought in the province. Drought severity in 2000 , 2016 More than other years . Also, 2005 is Tersali and other years are the average years . The results showed that identifying drought-sensitive areas could have a very important role in managing the management of drought risk.

**Keywords :** Agricultural Drought Risk Analysis, Semnan Province, Field Assessment,

Geographic Information System (GIS).